

О. Д. АХМАТОВА, Г. А. БЕНДРИКОВ

## К ИССЛЕДОВАНИЮ СИСТЕМ С РАСПРЕДЕЛЕННОЙ ОБРАТНОЙ СВЯЗЬЮ МЕТОДОМ ТРАЕКТОРИЙ КОРНЕЙ

В работе рассмотрена система, состоящая из идеального усилителя, охваченного распределенной обратной связью. Исследованы общие свойства траекторий корней характеристического уравнения замкнутой системы с учетом дисперсии в цепи обратной связи при различных соотношениях между параметрами линии.

В работе рассматривается замкнутая система, содержащая элемент с распределенными параметрами. Этот элемент в общем случае описывается уравнениями в частных производных гиперболического или параболического типа, либо дифференциально-разностными уравнениями. Применяв преобразование Лапласа к указанным уравнениям, приходим к анализу замкнутых систем на плоскости комплексных частот  $p$ . Особенность элементов с распределенными параметрами заключается в том, что их передаточная функция является трансцендентной функцией  $p$  и, следовательно, характеристическое уравнение замкнутой системы трансцендентно.

Для исследования таких характеристических уравнений применим метод траекторий корней, с помощью которого можно исследовать, как изменяются корни характеристического уравнения при непрерывном изменении некоторого свободного параметра, линейно входящего в коэффициенты характеристического уравнения. Такое исследование позволяет выяснить область устойчивости, условия возбуждения, возможность автоколебательного режима в системе, а также рассмотреть динамические свойства системы в области устойчивости.

Рассмотрим замкнутую систему, состоящую из идеального усилителя с коэффициентом усиления  $k$ , выход которого соединен со входом посредством согласованной длинной линии, характеризуемой погонными параметрами  $L, C, R, g$ . В данной работе исследование проводится с учетом дисперсионных свойств цепи обратной связи при различных соотношениях между параметрами длинной линии  $L, C, R, g$ . Кроме того, исследуются свойства системы в зависимости от величины коэффициента усиления усилителя.

Передаточная функция отрезка длинной линии длины  $l$ , согласованного на конце (или полубесконечной длинной линии), имеет вид

$$G(p) = \exp(-l \sqrt{LCp^2 + (Lg + RC)p + Rg}). \quad (1)$$

Заметим, что передаточная функция (1) в зависимости от соотношения между параметрами длинной линии соответствует разным дифференциальным уравнениям движения. Если в линии отсутствуют потери ( $R=g=0$ ), то линия описывается волновым или разностным уравнением и представляет собой элемент «чистого» запаздывания. Если в линии можно пренебречь индуктивностью и утечкой ( $L=g=0$ ), то линия описывается уравнением теплопроводности. С учетом всех параметров линия описывается уравнением гиперболического типа. Исследование на плоскости комплексных частот позволяет применить общий метод к рассмотрению разных типов уравнений.

Передаточная функция замкнутой системы равна

$$\Phi(p) = \frac{kG(p)}{1 + kG(p)}. \quad (2)$$

Сигнал на выходе цепи обратной связи, когда на вход усилителя воздействует единичный скачок напряжения, представляется в виде

$$h(t) = \frac{1}{2\pi j} \int_{\sigma-j\infty}^{\sigma+j\infty} \frac{\Phi(p)}{p} e^{pt} dp. \quad (3)$$

Поскольку подынтегральная функция в (3), вообще говоря, является неоднозначной функцией  $p$ , то при вычислении интеграла (3) выделяется однозначная ветвь подынтегральной функции, удовлетворяющая условиям существования оригинала. В результате интегрирования (3) получим [1]

$$h(t) = \frac{k}{k + e^{\sqrt{Rgl}}} + \sum_i \text{выч} \left[ \frac{\Phi(p)}{p} e^{pt}, p_i \right] + \frac{\beta}{2\pi} \int_{-1}^1 \frac{2ke^{(\beta x - \delta_0)t} \sin(\tau\beta \sqrt{1-x^2})}{1 + k^2 + 2k \cos(\tau\beta \sqrt{1-x^2})} \frac{dx}{(\beta x - \delta_0)}, \quad (4)$$

где  $p_i$  — корни характеристического уравнения

$$1 + k \exp[-l\sqrt{LC}p^2 + (Lg + RC)p + Rg] = 0, \quad (5)$$

$$\delta_0 = \frac{1}{2} \left( \frac{R}{L} + \frac{g}{C} \right), \quad \tau = l\sqrt{LC}, \quad \beta = \frac{1}{2} \left| \frac{R}{L} - \frac{g}{C} \right|.$$

Наличие интеграла в (4) обусловлено неоднозначностью передаточной функции (2). Для случая линии без потерь ( $R=g=0$ ) или неискажающей линии ( $RC=Lg$ ) этот интеграл равен нулю. В общем случае интеграл в (4) в элементарных функциях не представляется, однако, ограничен при всех  $t$  и стремится к нулю с ростом  $t$ . Отсюда следует, что устойчивость рассматриваемой системы полностью определяется корнями характеристического уравнения (5).

Для исследования расположения корней уравнения (5) на комплексной плоскости  $p$ , принимая коэффициент усиления  $k$  за параметр траекторий, получим уравнение траекторий корней характеристического уравнения (5) и формулу параметра  $k$  [2].

Подставляя  $p = \delta + j\omega$ , уравнение (5) можно записать в виде

$$k = -e^{(\alpha + j\theta)t}, \quad (6)$$

где

$$\begin{aligned} \alpha &= \operatorname{Re} \sqrt{LCp^2 + (RC + Lg)p + Rg}, \\ \theta &= \operatorname{Im} \sqrt{LCp^2 + (RC + Lg)p + Rg}. \end{aligned} \quad (7)$$

Поскольку  $k$  — действительный параметр, то

$$\theta l = N\pi, \quad N = 0, \pm 1, \pm 2, \dots \quad (8)$$

Четным значениям  $N$  соответствуют отрицательные значения  $k$ , что при данной записи характеристического уравнения соответствует положительному знаку обратной связи. Нечетным значениям  $N$  соответствуют положительные значения  $k$  или наличие отрицательной обратной связи в системе.

Уравнение (8) представляет собой уравнение траекторий корней характеристического уравнения (5) при изменении  $|k|$  от нуля до  $\infty$ . Траектории корней, соответствующие четным (нечетным)  $N$ , называются четными (нечетными).

Для получения уравнения траекторий корней в виде  $\omega = f(\delta)$  введем обозначения

$$\begin{aligned} z &= LCp^2 + (RC + Lg)p + Rg = ap^2 + bp + d = \\ &= [a(\delta^2 - \omega^2) + b\delta + d] + j\omega(2a\delta + b) = u + jv. \end{aligned} \quad (9)$$

Тогда

$$\sqrt{z} = \sqrt{u + jv} = \alpha + j\theta = \sqrt{0,5(\sqrt{u^2 + v^2} + u)} + j\sqrt{0,5(\sqrt{u^2 + v^2} - u)}. \quad (10)$$

Учитывая (10), уравнение траекторий (8) можно записать

$$v^2 = 4 \left( \frac{N^2\pi^2}{l^2} \right)^2 + 4 \frac{N^2\pi^2}{l^2} u.$$

Подставляя значения  $u$  и  $v$  из (9), получим уравнение траекторий в виде

$$\omega^2 \left[ (2a\delta + b)^2 + 4a \frac{N^2\pi^2}{l^2} \right] = \frac{4N^2\pi^2}{l^2} \left[ \frac{N^2\pi^2}{l^2} + a\delta^2 + b\delta + d \right], \quad (11)$$

где  $a = LC$ ,  $b = RC + Lg$ ,  $d = Rg$ .

Несложно показать, что  $\alpha = \frac{v}{2\theta}$ . Действительно, из (10) имеем

$$\alpha^2 = \frac{0,5(\sqrt{u^2 + v^2} + u) \cdot 0,5(\sqrt{u^2 + v^2} - u)}{0,5(\sqrt{u^2 + v^2} - u)} = \frac{v^2}{4\theta^2}.$$

Учитывая это, формулу параметра  $k = k(\delta, \omega)$ , т. е. формулу, определяющую значение  $k$  в каждой точке траекторий (8) или (11), получим из выражения (6) в виде

$$k = (-1)^{N+1} e^{\alpha l} = (-1)^{N+1} e^{\frac{vl^2}{2N\pi}} = (-1)^{N+1} \exp \left[ \frac{\omega(2a\delta + b)}{2N\pi} l^2 \right]. \quad (12)$$

Уравнение траекторий корней (11) и формула параметра (12) получены для системы, цепь обратной связи которой характеризуется всеми параметрами  $L$ ,  $C$ ,  $R$  и  $g$ . Прежде чем перейти к исследованию общих свойств траекторий корней таких систем, остановимся на некоторых частных системах. Рассмотрение частных систем интересно пото-

му, что движения в них описываются дифференциальными уравнениями других типов. Кроме того, эти системы являются в некотором смысле предельными для исследуемой системы со всеми параметрами  $L$ ,  $C$ ,  $R$  и  $g$ .

1. Пусть в длинной линии отсутствуют потери ( $R=g=0$ ). В этом случае (1) представляет передаточную функцию элемента с «чистым» запаздыванием

$$G(p) = e^{-p\tau}, \quad \tau = l\sqrt{LC}.$$

Сигнал на выходе такого элемента не искажается, но сдвинут на время  $\tau$ .

При исследовании замкнутой системы, когда в качестве элемента обратной связи используется линия без потерь, приходим к уравнению траекторий корней (11) в виде ( $a=LC$ ,  $b=d=0$ )

$$\omega\tau = N\pi, \quad N = 0, \pm 1, \pm 2, \dots \quad (13)$$

Траектории корней в этом случае представляют собой бесконечное число прямых, параллельных действительной оси. Для коэффициента усиления  $k$  из (12) с учетом (13) имеем

$$k = (-1)^{N+1} e^{\tau\delta}.$$

Такие системы подробно исследованы в работах [3, 4].

2. Неискажающая линия. Пусть параметры линии таковы, что выполняется условие  $\frac{R}{L} = \frac{g}{C} = r$ . В этом случае передаточная функция линии (1) примет вид  $G(p) = e^{-(p+r)\tau}$ , т. е. сигнал на выходе с опозданием на время  $\tau$  повторяет сигнал на входе, отличаясь лишь на постоянный множитель  $e^{-r\tau}$ .

Траектории корней характеристического уравнения замкнутой системы те же, что в случае «чистого» запаздывания. (Уравнение (13).) Для коэффициента усиления справедливо выражение

$$k = (-1)^{N+1} e^{\tau(\delta+r)}.$$

При  $|k|=1$  все корни находятся слева от мнимой оси на линии  $\delta=-r$ , а возбуждение имеет место при  $|k|=e^{r\tau}$  на всех частотах  $\omega_{кр}$ .

3. Пусть в качестве элемента обратной связи используется коаксиальный кабель ( $L=g=0$ ). Передаточная функция в этом случае равна

$$G(p) = e^{-\sqrt{p}\tau_0}, \quad \tau_0 = l\sqrt{RC}.$$

Такой элемент существенно изменяет форму сигнала и обладает большим ослаблением.

Уравнение траекторий корней замкнутой системы (11) примет вид ( $a=0$ ,  $b=RC$ ,  $d=0$ )

$$\omega^2 = \frac{4N^2\pi^2}{\tau_0^2} \left[ \frac{N^2\pi^2}{\tau_0^2} + \delta \right].$$

Траектории корней представляют собой параболы с вершинами на действительной оси [5, 6] (рис. 1). На рисунках двойными стрелками обозначены четные траектории ( $k < 0$ ), одной стрелкой — нечетные ( $k > 0$ ). Коэффициент усиления в этом случае определяется по формуле (12)

$$k = (-1)^{N+1} e^{\frac{\omega\tau_0}{N\pi}}.$$

Аналогичные уравнения траекторий и параметра получаются при условии  $R=C=0$ . В этом случае постоянная замедления  $\tau_0 = l\sqrt{Lg}$ .

Исследуем общие свойства траекторий корней характеристического уравнения (5) с учетом всех параметров линии  $L, C, R$  и  $g$ .

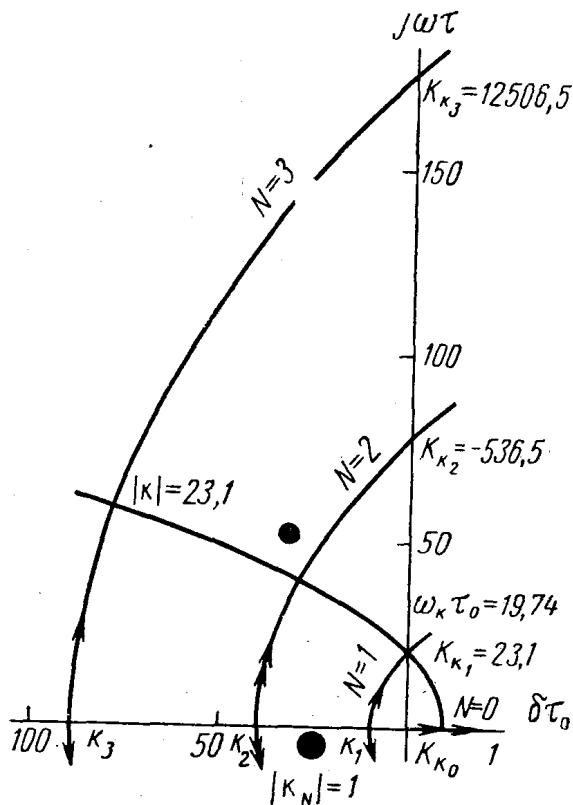


Рис. 1

Рассмотрим зависимость  $k = k(\omega, \delta)$ , используя формулу (12). Очевидно, если  $\omega \neq 0$ , то  $|k|=1$  при  $\delta = -b/2a$  для любого  $N \neq 0$ , т. е. при  $|k|=1$  все комплексные корни характеристического уравнения (5) лежат на вертикальной прямой  $\delta = -b/2a$  слева от мнимой оси. Частоты, соответствующие  $|k|=1$ , находим из уравнения (11), подставляя  $\delta = -b/2a$ :

$$\omega^2 = \frac{1}{a} \left[ \frac{N^2\pi^2}{l^2} - \frac{b^2}{4a} + d \right].$$

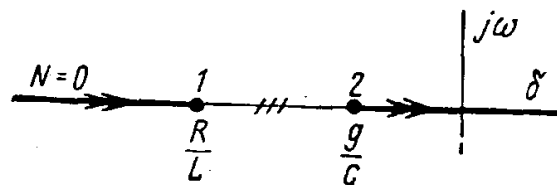


Рис. 2

Из формулы параметра (12) следует, что при  $\delta < -b/2a$  коэффициент усиления  $|k| < 1$ , а при  $\delta > -b/2a$   $|k| > 1$ . Таким образом, общим свойством траекторий корней рассматриваемой системы является то, что корни движутся по траекториям слева направо при увеличении  $|k|$  от нуля, достигая при  $|k|=1$  вертикали  $\delta = -b/2a$ . При дальнейшем увеличении коэффициента усиления  $|k| > 1$  корни уходят вправо, пересекая мнимую ось.

В случае линии без потерь ( $R=g=0$  или  $b=0$ ) все корни находятся на мнимой оси при  $|k|=1$ .

Траектории корней симметричны относительно линии  $\delta = -b/2a$ .

В этом нетрудно убедиться, если в уравнение траекторий (11) подставить  $\delta = -b/2a + x$  и  $\delta = -b/2a - x$ .

Траектории корней симметричны относительно действительной оси, поскольку в уравнение траекторий корней входит только  $\omega^2$ .

Асимптотами траекторий являются горизонтальные прямые  $\omega = \frac{N\pi}{\tau}$ , ( $\tau = l\sqrt{LC}$ ). Действительно,

$$G(p) = \exp[-l\sqrt{ap^2 + bp + d}] \rightarrow \exp[-l\sqrt{ap^2}] = e^{-p\tau},$$

т. е. рассмотренная ранее система с «чистым» запаздыванием является асимптотической для систем, характеризуемых всеми параметрами линии.

Вся действительная ось, вообще говоря, не является траекторией корней. Траектории  $N=0$  принадлежат участку  $-\infty < \delta < -R/L$  и

$-g/C < \delta < \infty$ , если  $R/L > g/C$ , или  $-\infty < \delta < -g/C$  и  $-R/L < \delta < \infty$ , если  $g/C > R/L$  (рис. 2). Только в случае чистого запаздывания ( $R=g=0$ ) или неискажающей линии ( $RC=Lg$ ) вся действительная ось является траекторией  $N=0$ . Для кабеля ( $L=g=0$ ) траекторией  $N=0$  является только положительная полуось действительной оси.

Действительно, полагая  $\omega=0$ ,  $N=0$ , формула параметра (6) примет вид

$$k = -e^{\alpha l}, \quad (14)$$

где

$$\alpha = \sqrt{a\delta^2 + b\delta + d} = \sqrt{a(\delta - \delta_1)(\delta - \delta_2)} = \sqrt{LC\left(\delta + \frac{R}{L}\right)\left(\delta + \frac{g}{C}\right)}.$$

Так как  $\alpha$  — величина действительная, необходимо, чтобы выполнялись неравенства

$$\delta + \frac{R}{L} > 0 \text{ и } \delta + \frac{g}{C} > 0$$

или

$$\delta + \frac{R}{L} < 0, \quad \delta + \frac{g}{C} < 0.$$

Считая, что  $R/L > g/C$ , получим, что траектории  $N=0$  принадлежат участку действительной оси  $\delta < -R/L$  и  $\delta > -g/C$  (рис. 2). (Если  $g/C > R/L$ , то траекторией  $N=0$  является  $\delta < -g/C$  и  $\delta > -R/L$ .) В случае чистого запаздывания и неискажающей линии точки 1 и 2 на рис. 2 сливаются, для коаксиального кабеля  $\delta = -R/L \rightarrow -\infty$ , а  $\delta = -g/C = 0$ .

Значение параметра  $k$  для разных точек этой ветви (траектории  $N=0$ ) вычисляем по формуле (14). В точках  $\delta = -R/L$  и  $\delta = -g/C$  коэффициент усиления  $k = -1$ , для  $\delta < -R/L$   $|k| < 1$ , а для  $\delta > -g/C$   $|k| > 1$ . Критическое значение коэффициента усиления, соответствующее выходу корня в правую полуплоскость, равно  $k = e^{-\sqrt{Rg}l}$ .

Таким образом, если в системе утечка пренебрежимо мала ( $g=0$ ), а обратная связь положительна, такая система неустойчива при  $|k| > 1$ .

Вид комплексных ветвей траекторий корней ( $N \neq 0$ ) существенно зависит от значения параметра

$$A = \left| \rho g_0 - \frac{R_0}{\rho} \right|, \quad \text{где } \rho = \sqrt{\frac{L}{C}}, \quad R_0 = Rl, \quad g_0 = gl.$$

Если  $A < 2\pi$ , то комплексные ветви траекторий не заходят на действительную ось. При

$$A = \left| \rho g_0 - \frac{R_0}{\rho} \right| \geq 2N\pi \quad (15)$$

$N$  ветвей траекторий заходят на действительную ось (рис. 3).

Пусть  $N \neq 0$ ,  $\omega = 0$ . В этом случае уравнение траекторий (11) имеет вид

$$\frac{N^2\pi^2}{l^2} + a\delta^2 + b\delta + d = 0$$

или

$$\delta = -\frac{b}{2a} \pm \sqrt{\left(\frac{b}{2a}\right)^2 - \frac{1}{a} \left[ \frac{N^2\pi^2}{l^2} + d \right]}. \quad (16)$$

По определению  $\delta$  — величина действительная, т. е. ветвям траекторий корней ( $N \neq 0$ ), для которых справедливо условие

$$\frac{b^2}{(2a)^2} \geq \frac{1}{a} \left[ \frac{N^2 \pi^2}{l^2} + d \right], \quad (15')$$

на действительной оси принадлежат отдельные точки, определяемые уравнением (16). При этом каждому  $N$  соответствует два отрицательных значения  $\delta$  (рис. 3, б, в). Коэффициент усиления  $k$  в этих точках

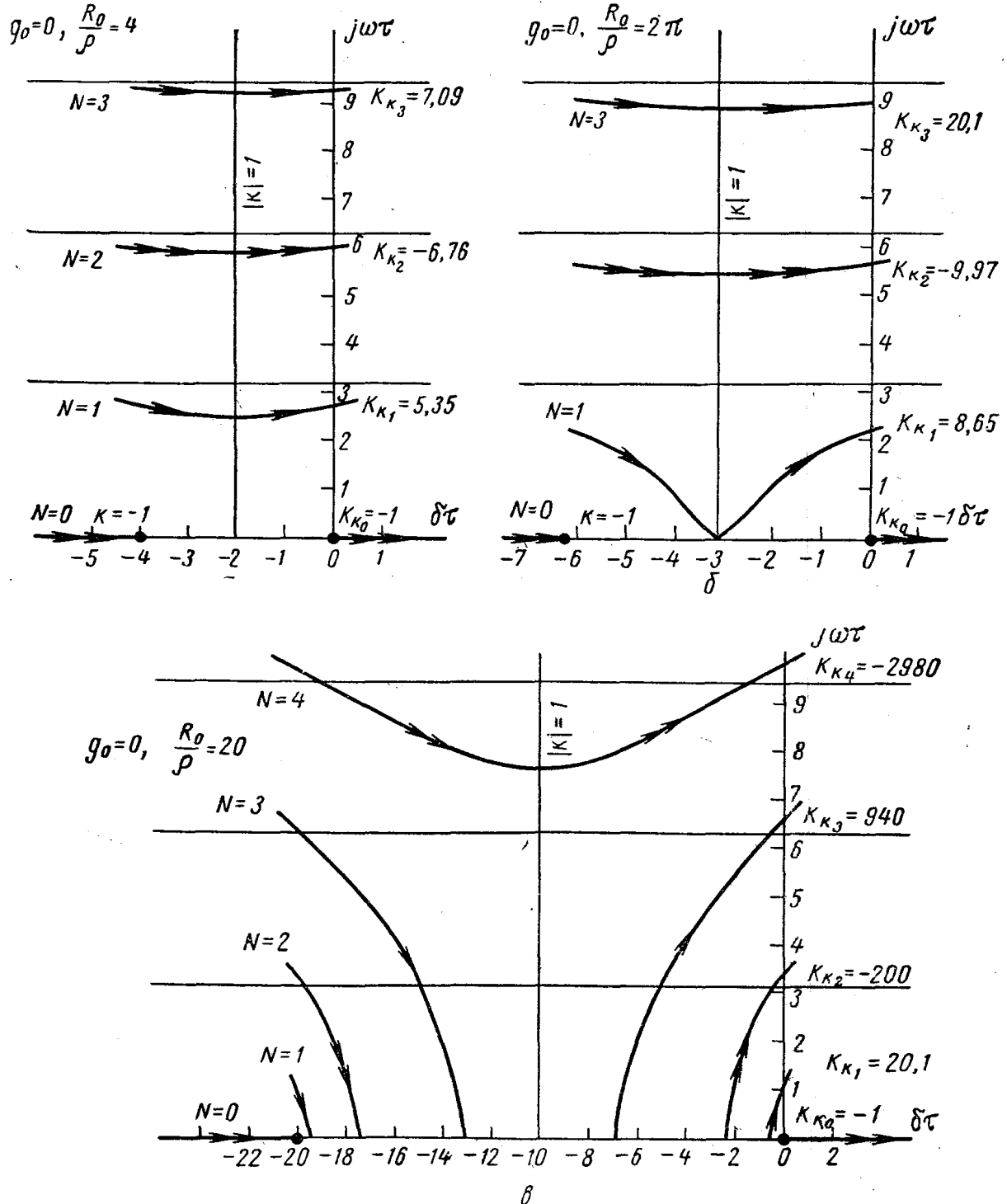


Рис. 3

всегда равен  $|1|$ . В случае равенства в условии (15') имеется двойная точка на действительной оси (рис. 3, б). Если выразить  $a, b, d$  через параметры линии, то условие (15') примет вид (15).

Возможный вид траекторий корней в зависимости от выполнения условия (15) показан на рис. 3. Если параметры линии таковы, что условие (15) не выполняется при  $M=1$ , то ни одна из комплексных ветвей не заходит на действительную ось (рис. 3, а).

С увеличением потерь и уменьшением волнового сопротивления условие выполняется для все большего числа ветвей  $N$  и, следовательно, все большее число корней при  $|k|=1$  находятся на действительной оси. При этом линия усиления  $|k|=1$ , определяемая как  $\delta = -\frac{b}{2a} = -\frac{1}{2\tau} \left( \rho g_0 + \frac{R_0}{\rho} \right)$ , все больше смещается в область отрицательных значений  $\delta$ . В пределе при  $L=0$  ( $\rho=0$ ) эта линия находится в бесконечности. Условие (15) выполнено для сколь угодно большого числа  $N$ , т. е. все ветви траекторий при  $|k|=1$  начинаются на действительной оси. Это соответствует системе с кабелем в цепи обратной связи; траектории корней такой системы представляют собой параболы с вершинами на действительной отрицательной полуоси (рис. 1).

На рис. 3 построены траектории корней замкнутой системы при различных значениях  $R_0/\rho$ , ( $g_0=0$ ) на комплексной плоскости приведенных частот  $p\tau = \delta\tau + j\omega\tau$ ,  $\tau = l \sqrt{LC}$ . Рис. 3, в соответствует случаю, когда три ветви траекторий заходят на действительную ось ( $R_0/\rho = 20$ ,  $g_0=0$ ). Горизонтальные прямые на всех рисунках соответствуют траекториям корней системы без дисперсии ( $R=g=0$  или  $RC=Lg$ ). Поскольку четные и нечетные траектории соответствуют разным знакам обратной связи, при исследовании конкретной системы необходимо рассматривать только четные (нечетные) траектории.

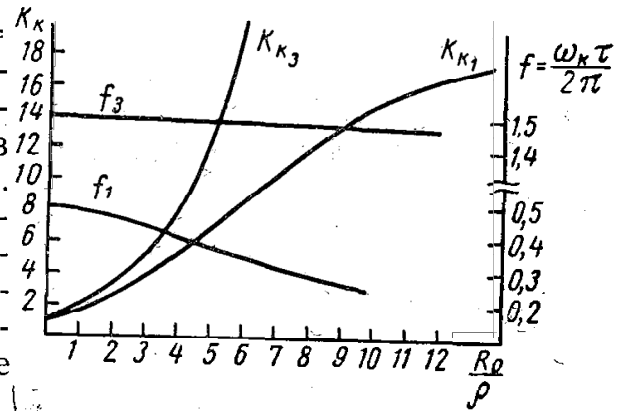


Рис. 4

Особый интерес представляют точки пересечения траекториями корней мнимой оси, так как они определяют область устойчивости, условия возбуждения и значения критических частот.

Значения критических частот находятся из уравнения (11) при  $\delta=0$

$$\omega_{кр} = \frac{N\pi}{l\sqrt{LC}} \sqrt{\frac{N^2\pi^2 + R_0g_0}{\left[ \frac{1}{2} \left( \rho g_0 + \frac{R_0}{\rho} \right) \right]^2 + N^2\pi^2}} \quad (17)$$

Значение критической частоты возрастает с ростом номера  $N$ , причем критические частоты образуют неэквидистантный спектр. Исключения составляют системы без дисперсии.

Критическое значение коэффициента усиления, согласно формуле (12), равно

$$k_{кр} = (-1)^{N+1} \exp \left[ \frac{\omega_{кр}}{2N\pi} (Lg + RC) l^2 \right] \quad (18)$$

Из (18) следует, что если  $R \neq 0$ ,  $g \neq 0$  и  $RC \neq Lg$ , то  $|k_{окр}| < |k_{1кр}| < \dots < |k_{2кр}| < \dots$ . Следовательно, если в системе положительная обратная связь ( $k < 0$ ), то потеря устойчивости происходит аperiodически при  $k = k_{кр0} = -e^{\sqrt{R_0g_0}}$ . Для системы с отрицательной обратной связью,

на рис. 4 показана зависимость приведенной частоты  $f_1 = \frac{\omega_{кр1}\tau}{2\pi}$  и критического значения коэффициента усиления  $k_{1кр}$  от отношения омического сопротивления к волновому сопротивлению линии  $R_0/\rho$ , ( $g_0=0$ ).

Для сравнения показана зависимость от  $R_0/\rho$  следующей критической частоты  $f_3 = \frac{\omega_{кр3}\tau}{2\pi}$  и соответствующего критического коэффициента усиления  $k_{3кр}$ . При  $R_0=0$  значения коэффициентов усиления  $k_{кр}$  равны 1 для всех критических частот и, следовательно, система возбуждается при  $k \geq 1$  сразу на всех частотах  $\omega_{кр}$ . Если  $R_0/\rho \neq 0$ , наиболее выгодные условия осуществляются для возбуждения низшей частоты. Однако если  $R_0/\rho \ll 1$ , то возможно возбуждение нескольких, вообще говоря, неэквидистантных частот. С ростом  $R_0/\rho \gg 1$  возбуждение может иметь место только на низшей частоте  $\omega_{кр1}$ .

#### ЛИТЕРАТУРА

1. Азьян Ю. М., Мигулин В. В. «Радиотехника и электроника», № 1, 1956.
2. Бендриков Г. А., Теодорчик К. Ф. Траектории корней линейных автоматических систем. М., «Наука», 1964.
3. Цыпкин Я. З. «Автоматика и телемеханика», № 2—3, 1946.
4. Бендриков Г. А., Конев Ф. Б. «Автоматика и телемеханика», № 4, 1969.
5. Chu Y. Trans. AIEE, 71, 11, 1952.
6. О. Дж. М. Смит. Автоматическое регулирование. М., Физматгиз, 1962.

Поступила в редакцию  
25.6 1969 г.

Кафедра  
физики колебаний